

# Acoplamiento multiescala en cálculos fluidodinámicos

Director

*Dr. Dari, Enzo Alberto*

Maestrando

*Ing. Caccia, Federico Agustín*

25 de septiembre de 2017



Comisión Nacional  
de Energía Atómica



Instituto  
Balseiro

# Outline

## 1 Introducción

# Outline

- 1 Introducción
- 2 Estrategia de resolución

# Outline

- 1 Introducción
- 2 Estrategia de resolución
- 3 Ejemplos de aplicación

# Outline

- 1 Introducción
- 2 Estrategia de resolución
- 3 Ejemplos de aplicación
- 4 Conclusiones



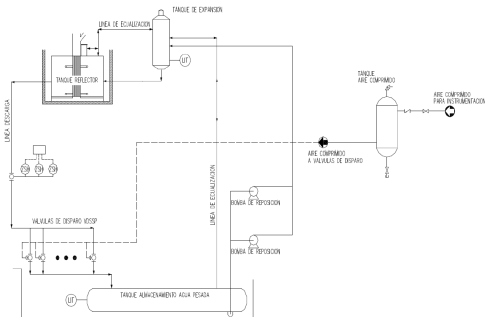
# Introducción

## Motivación

- Estudios de sistemas complejos.
- Reducción del costo computacional.



**Figura 1:** Esquema del circuito de deuterio en una fuente fría de neutrones.

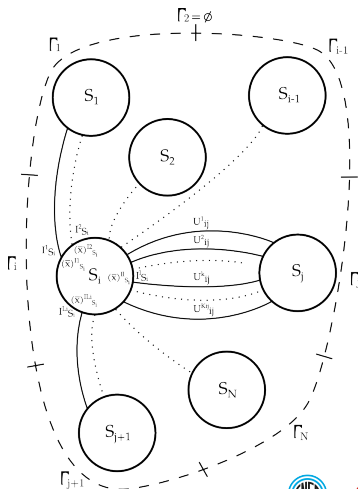


**Figura 2:** Esquema del Segundo Sistema de Parada del reactor RA-10.





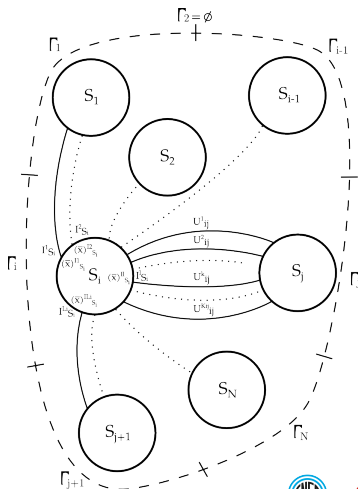
## Abordaje del modelado





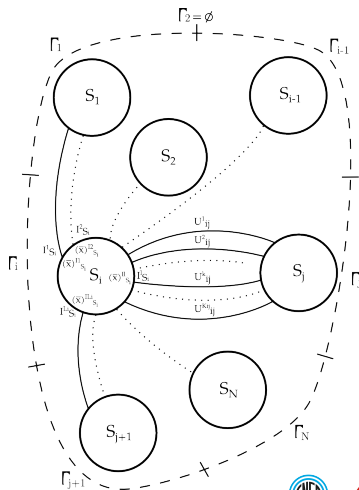
## Abordaje del modelado

- Desglosar en subsistemas
- Identificar uniones que relacionan interfaces de acoplamiento



## Abordaje del modelado

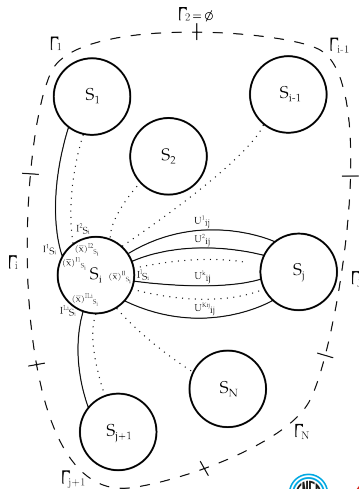
- Desglosar en subsistemas
- Identificar uniones que relacionan interfaces de acoplamiento
- Identificar pares de variables incógnitas en cada interfaz



# Introducción

## Abordaje del modelado

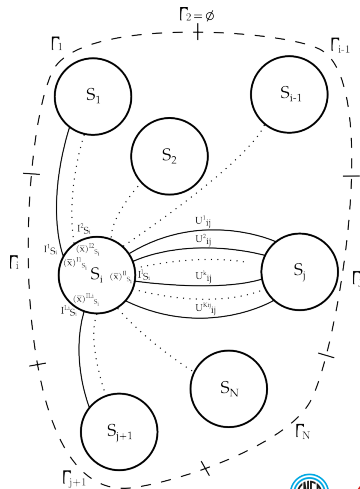
- Desglosar en subsistemas
- Identificar uniones que relacionan interfaces de acoplamiento
- Identificar pares de variables incógnitas en cada interfaz
- Total de incógnitas:  $2N$



# Introducción

## Abordaje del modelado

- Desglosar en subsistemas
- Identificar uniones que relacionan interfaces de acoplamiento
- Identificar pares de variables incógnitas en cada interfaz
- Total de incógnitas:  $2N$ 
  - $N$  ecuaciones de continuidad que relacionan las incógnitas entre dos interfaces contiguas de distintos subsistemas

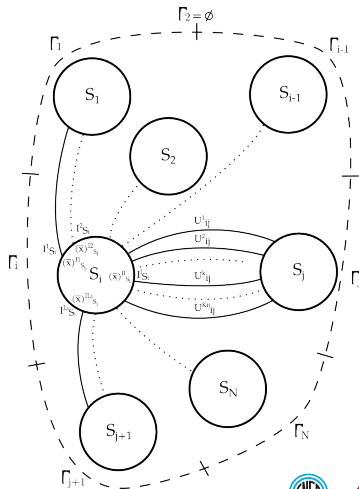




# Introducción

## Abordaje del modelado

- Desglosar en subsistemas
- Identificar uniones que relacionan interfaces de acoplamiento
- Identificar pares de variables incógnitas en cada interfaz
- Total de incógnitas:  $2N$ 
  - $N$  ecuaciones de continuidad que relacionan las incógnitas entre dos interfaces contiguas de distintos subsistemas
  - $N$  ecuaciones modelos (acopladas) que relacionan las incógnitas (según selección de condiciones de borde)
- Seleccionar método numérico y resolver



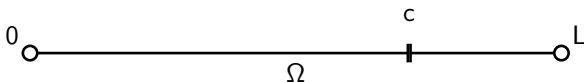


# Introducción

## Abordaje del modelado: Ejemplo

Ejemplo: El dominio  $\Omega$  representa una barra de largo  $L$ , coeficiente de conductividad térmica  $k$  y fuente interna de energía  $f$ . Calcular el campo de temperaturas en  $\Omega$  mediante el método de Descomposición Disjunta de Dominios. Modelo:

$$\begin{cases} -k\Delta u = f \\ u|_{\partial\Omega} = 0 \end{cases}$$



## Abordaje del modelado: Ejemplo

- 
- The diagram illustrates the decomposition of a domain  $\Omega$  into two subdomains  $\Omega_1$  and  $\Omega_2$ . The top part shows a domain  $\Omega$  with boundary points  $0$  and  $L$ , and a point  $c$  on the boundary. The bottom part shows the domain  $\Omega$  decomposed into two subdomains  $\Omega_1$  and  $\Omega_2$ , with boundary points  $0$  and  $L$ . Arrows indicate the mapping from the top domain to the bottom subdomains.

## Abordaje del modelado: Ejemplo

-

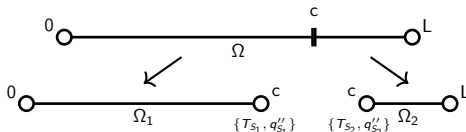






# Introducción

## Abordaje del modelado: Ejemplo

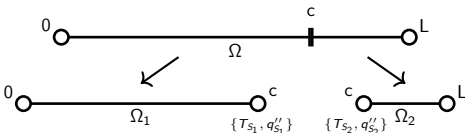


- 6. Seleccionar método numérico y resolver:
  - a. Métodos explícitos:
    - a1. *Dirichlet – to – Neumann* (cálculos en serie):

$$\begin{cases} (q''^{calc})_{S_1} = \mathcal{N}_1((T^{guess})_{S_1}) \\ (T^{calc})_{S_2} = \mathcal{D}_2((q''^{calc})_{S_1}) \end{cases}$$

# Introducción

## Abordaje del modelado: Ejemplo



- 6. Seleccionar método numérico y resolver:
  - a. Métodos explícitos:
    - a2. *Punto fijo* (cálculos en paralelo):

$$\begin{cases} (q''^{calc})_{S_1} = \mathcal{N}_1((T^{guess})_{S_1}) \\ (T^{calc})_{S_2} = \mathcal{D}_2((q''^{guess})_{S_2}) \end{cases}$$



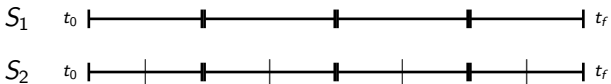






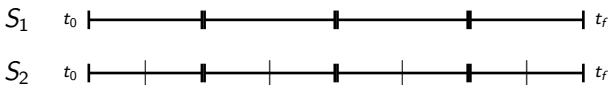
# Introducción

Estrategia:



## Problemas de evolución

- Cada susistema utiliza su propia discretización temporal.













# Outline

## 1 Introducción

- Motivación
- Abordaje del modelado
- **Objetivos**

## 2 Estrategia de resolución

- Paradigma maestro-esclavo
- Modelos de comunicación
- Arquitectura de acoplamiento montada en códigos esclavos comunicados por paso de mensajes
- Códigos maestro utilizados

## 3 Ejemplos de aplicación

- Movimiento por fuerza boyante en un circuito cerrado
- Análisis del segundo sistema de parada de un reactor de investigación
- Resolución de redes hidráulicas de múltiples componentes
- Extensión a problemas acoplados en modelos de núcleo

## 4 Conclusiones

# Introducción

## Objetivos

Considerando la motivación y la formulación precedente, queda establecido el siguiente objetivo general de la maestría:

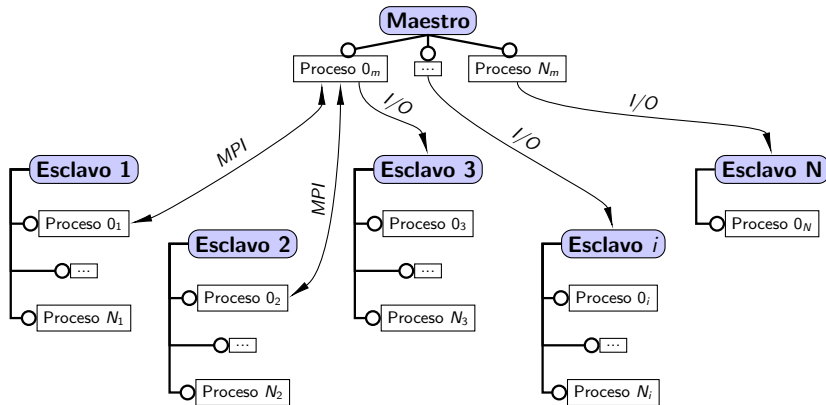
*Desarrollar una estrategia de resolución de problemas complejos formulados mediante el Método de Descomposición Disjunta de Dominios que permita resolver subproblemas separados con códigos de cálculo específicos, manteniendo la interacción entre ellos solo mediante condiciones de borde.*

# Outline

- 1 Introducción
  - Motivación
  - Abordaje del modelado
  - Objetivos
- 2 Estrategia de resolución
  - Paradigma maestro-esclavo
  - Modelos de comunicación
  - Arquitectura de acoplamiento montada en códigos esclavos comunicados por paso de mensajes
  - Códigos maestro utilizados
- 3 Ejemplos de aplicación
  - Movimiento por fuerza boyante en un circuito cerrado
  - Análisis del segundo sistema de parada de un reactor de investigación
  - Resolución de redes hidráulicas de múltiples componentes
  - Extensión a problemas acoplados en modelos de núcleo
- 4 Conclusiones

# Estrategia de resolución mediante acoplamiento de códigos

## Paradigma maestro-esclavo



# Outline

- 1 Introducción
  - Motivación
  - Abordaje del modelado
  - Objetivos
- 2 Estrategia de resolución
  - Paradigma maestro-esclavo
  - Modelos de comunicación
  - Arquitectura de acoplamiento montada en códigos esclavos comunicados por paso de mensajes
  - Códigos maestro utilizados
- 3 Ejemplos de aplicación
  - Movimiento por fuerza boyante en un circuito cerrado
  - Análisis del segundo sistema de parada de un reactor de investigación
  - Resolución de redes hidráulicas de múltiples componentes
  - Extensión a problemas acoplados en modelos de núcleo
- 4 Conclusiones

# Estrategia de resolución mediante acoplamiento de códigos

## Modelos de comunicación

- Paso de mensajes: este modelo es implementado para comunicar procesos de programas en los cuales es posible modificar sus códigos fuente.
  - Programas ejecutados en forma independiente y conectados
  - Programas ejecutados en simultáneo como argumentos de *mpirun*

# Estrategia de resolución mediante acoplamiento de códigos

## Modelos de comunicación

- Paso de mensajes: este modelo es implementado para comunicar procesos de programas en los cuales es posible modificar sus códigos fuente.
  - Programas ejecutados en forma independiente y conectados
  - Programas ejecutados en simultáneo como argumentos de *mpirun*
- Escritura de archivos de entrada y lectura de archivos de salida: este modelo es implementado para comunicar procesos de programas en los cuales NO es posible modificar sus códigos fuente.

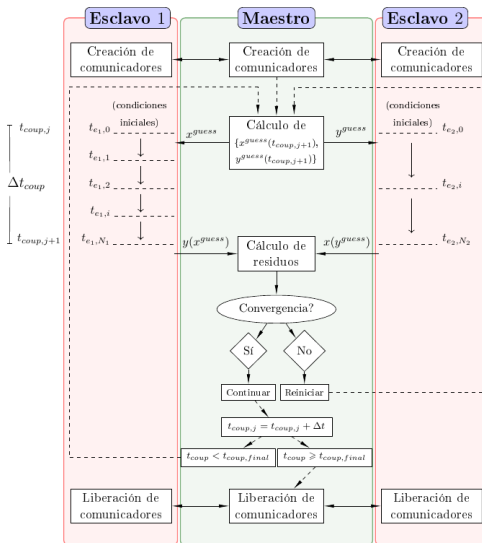


# Outline

- 1 Introducción
  - Motivación
  - Abordaje del modelado
  - Objetivos
- 2 Estrategia de resolución
  - Paradigma maestro-esclavo
  - Modelos de comunicación
  - Arquitectura de acoplamiento montada en códigos esclavos comunicados por paso de mensajes
  - Códigos maestro utilizados
- 3 Ejemplos de aplicación
  - Movimiento por fuerza boyante en un circuito cerrado
  - Análisis del segundo sistema de parada de un reactor de investigación
  - Resolución de redes hidráulicas de múltiples componentes
  - Extensión a problemas acoplados en modelos de núcleo
- 4 Conclusiones

# Estrategia de resolución mediante acoplamiento de códigos

Arquitectura de acoplamiento montada en códigos esclavos comunicados por paso de mensajes



# Outline

- 1 Introducción
  - Motivación
  - Abordaje del modelado
  - Objetivos
- 2 Estrategia de resolución
  - Paradigma maestro-esclavo
  - Modelos de comunicación
  - Arquitectura de acoplamiento montada en códigos esclavos comunicados por paso de mensajes
  - Códigos maestro utilizados
- 3 Ejemplos de aplicación
  - Movimiento por fuerza boyante en un circuito cerrado
  - Análisis del segundo sistema de parada de un reactor de investigación
  - Resolución de redes hidráulicas de múltiples componentes
  - Extensión a problemas acoplados en modelos de núcleo
- 4 Conclusiones

# Estrategia de resolución mediante acoplamiento de códigos

Códigos maestro utilizados

- **Coupling** ref
  - Modelos de comunicación por paso de mensajes entre programas ejecutados de manera independiente

# Estrategia de resolución mediante acoplamiento de códigos

Códigos maestro utilizados

- **Coupling** ref
  - Modelos de comunicación por paso de mensajes entre programas ejecutados de manera independiente
  - Cada interfaz de acople tiene  $N$  pares de variables incógnitas

# Estrategia de resolución mediante acoplamiento de códigos

Códigos maestro utilizados

## ● Coupling ref

- Modelos de comunicación por paso de mensajes entre programas ejecutados de manera independiente
- Cada interfaz de acople tiene  $N$  pares de variables incógnitas
- Métodos de resolución explícitos e implícitos implementados

# Estrategia de resolución mediante acoplamiento de códigos

Códigos maestro utilizados

- **Newton** (desarrollado durante la maestría)
  - Modelos de comunicación por paso de mensajes entre programas ejecutados de manera independiente o simultánea

# Estrategia de resolución mediante acoplamiento de códigos

Códigos maestro utilizados

- **Newton** (desarrollado durante la maestría)
  - Modelos de comunicación por paso de mensajes entre programas ejecutados de manera independiente o simultánea
  - Modelos de comunicación por manejo de archivos



# Estrategia de resolución mediante acoplamiento de códigos

Códigos maestro utilizados

- **Newton** (desarrollado durante la maestría)
  - Modelos de comunicación por paso de mensajes entre programas ejecutados de manera independiente o simultánea
  - Modelos de comunicación por manejo de archivos
  - Cada subsistema tiene  $N$  incógnitas (extensión a acoplamientos genéricos)

# Estrategia de resolución mediante acoplamiento de códigos

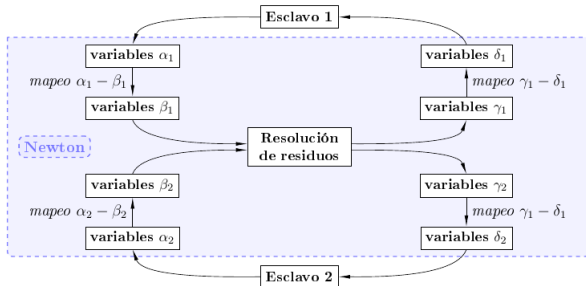
Códigos maestro utilizados

- **Newton** (desarrollado durante la maestría)
  - Modelos de comunicación por paso de mensajes entre programas ejecutados de manera independiente o simultánea
  - Modelos de comunicación por manejo de archivos
  - Cada subsistema tiene  $N$  incógnitas (extensión a acoplamientos genéricos)
  - Métodos de resolución explícitos e implícitos implementados

# Estrategia de resolución mediante acoplamiento de códigos

Códigos maestro utilizados

- **Newton** (desarrollado durante la maestría)
  - Modelos de comunicación por paso de mensajes entre programas ejecutados de manera independiente o simultánea
  - Modelos de comunicación por manejo de archivos
  - Cada subsistema tiene  $N$  incógnitas (extensión a acoplamientos genéricos)
  - Métodos de resolución explícitos e implícitos implementados
  - Mapeos de variables de entrada y salida ( $\alpha - \beta$  y  $\gamma - \delta$ )

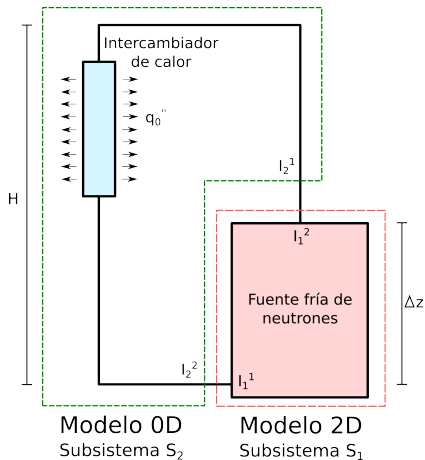


# Outline

- 1 Introducción
  - Motivación
  - Abordaje del modelado
  - Objetivos
- 2 Estrategia de resolución
  - Paradigma maestro-esclavo
  - Modelos de comunicación
  - Arquitectura de acoplamiento montada en códigos esclavos comunicados por paso de mensajes
  - Códigos maestro utilizados
- 3 Ejemplos de aplicación
  - **Movimiento por fuerza boyante en un circuito cerrado**
  - Análisis del segundo sistema de parada de un reactor de investigación
  - Resolución de redes hidráulicas de múltiples componentes
  - Extensión a problemas acoplados en modelos de núcleo
- 4 Conclusiones

# Ejemplos de aplicación

## Fluidodinámica en una fuente fría de neutrones



# Ejemplos de aplicación

## Fluidodinámica en una fuente fría de neutrones

Sistema  $S_1$ :

# Ejemplos de aplicación

## Fluidodinámica en una fuente fría de neutrones

Sistema  $S_1$ :

Parámetros utilizados:  $\rho_0 = 163 \text{ Kg}/m^3$  a la temperatura de referencia

$T_{ref}$ ,  $\mu = 2,8 \cdot 10^{-5} \text{ Kg}/ms$ ,  $c_p = 6333,6 \text{ J}/KgK$ ,  $k = 0,136 \text{ W}/mK$  y

$\beta = 1,32 \cdot 10^{-2} K^{-1}$ . Las áreas de las interfaces de acople son

$A_1^1 = A_2^2 = 0,03 \text{ m}^2$ .

# Ejemplos de aplicación

## Fluidodinámica en una fuente fría de neutrones

Sistema  $S_1$ :

Parámetros utilizados:  $\rho_0 = 163 \text{ Kg}/\text{m}^3$  a la temperatura de referencia  $T_{ref}$ ,  $\mu = 2,8 \cdot 10^{-5} \text{ Kg}/\text{ms}$ ,  $c_p = 6333,6 \text{ J}/\text{KgK}$ ,  $k = 0,136 \text{ W}/\text{mK}$  y  $\beta = 1,32 \cdot 10^{-2} \text{ K}^{-1}$ . Las áreas de las interfaces de acople son  $A_1^1 = A_2^2 = 0,03 \text{ m}^2$ .

$$\left\{ \begin{array}{l} \frac{\partial \bar{u}}{\partial t} + (\bar{u} \cdot \nabla) \bar{u} = -\frac{\nabla p}{\rho_0} + (1 - \beta(T - T_{ref})) \bar{g} + \\ + \nabla \cdot [(\nu) (\nabla \bar{u} + \nabla \bar{u}^T)] \\ \nabla \cdot \bar{u} = 0 \\ \frac{\partial T}{\partial t} + (\bar{u} \cdot \nabla) T = \frac{k}{\rho_0 c_p} \Delta T + \frac{f_0}{\rho_0 c_p} \end{array} \right.$$

donde  $\bar{u}$  es el campo de velocidades dentro de la cavidad,  $p$  el campo de presiones y  $T$  el campo de temperaturas.



# Ejemplos de aplicación

## Fluidodinámica en una fuente fría de neutrones

Sistema  $S_2$ :

# Ejemplos de aplicación

## Fluidodinámica en una fuente fría de neutrones

Sistema  $S_2$ :

Parámetros extra utilizados: longitud total de cañerías  $L = 15 \text{ m}$ ,  
 sumatoria de coeficientes de pérdida de carga concentrada  $\sum K_i = 1,72$ ,  
 rugosidad de cañerías  $\epsilon = 0,5 \cdot 10^{-4} \text{ m}$ .

# Ejemplos de aplicación

## Fluidodinámica en una fuente fría de neutrones

Sistema  $S_2$ :

Parámetros extra utilizados: longitud total de cañerías  $L = 15 \text{ m}$ ,  
sumatoria de coeficientes de pérdida de carga concentrada  $\sum K_i = 1,72$ ,  
rugosidad de cañerías  $\epsilon = 0,5 \cdot 10^{-4} \text{ m}$ .

$$\begin{cases} Q_2^2 = Q_2^1 \\ p_2^2 = p_2^1 + \rho_0 g (\Delta z + \beta(T_2^1 - T_{ref})(H - \Delta z)) - \\ - \rho_0 \frac{1}{2} \left( \frac{Q_1^1}{A_2^1} \right)^2 \left( \frac{f_D L}{D} + \sum_i K_i \right) \\ T_2^2 = 0 \end{cases}$$

donde  $Q_2^i$  es el caudal en la interfaz  $i$ ,  $p_2^i$  es la presión del subsistema promediada en esta interfaz,  $T_2^i$  es la temperatura promediada en esta interfaz,  $g$  es la aceleración generada por el campo gravitatorio,  $f_D$  es el factor de Darcy de pérdida de carga distribuida, y  $D$  es el diámetro de la tubería.

# Ejemplos de aplicación

## Fluidodinámica en una fuente fría de neutrones

Estrategia de resolución:

- Ecuaciones de continuidad

$$\left\{ \begin{array}{l} Q_1^1 = Q_2^2 \\ Q_1^2 = Q_2^1 \\ p_1^1 = p_2^2 \\ p_1^2 = p_2^1 \\ T_2^1 = T_2^2 \\ T_2^2 = T_2^1 \\ q''^1_2 = -q''^2_2 \\ q''^2_2 = -q''^1_2 \end{array} \right.$$

# Ejemplos de aplicación

## Fluidodinámica en una fuente fría de neutrones

- Selección de condiciones de borde
  - en la interfaz inferior de la cavidad 2-D:
    - condiciones de tipo *Dirichlet* para el par presión-caudal
    - condiciones de tipo *Dirichlet* para el par temperatura-flujo de calor
  - en la interfaz superior de la cavidad 2-D:
    - condiciones de tipo *Neumann* para el par presión-caudal
    - condiciones de tipo *Neumann* para el par temperatura-flujo de calor

# Ejemplos de aplicación

## Fluidodinámica en una fuente fría de neutrones

- Selección de condiciones de borde
  - en la interfaz inferior de la cavidad 2-D:
    - condiciones de tipo *Dirichlet* para el par presión-caudal
    - condiciones de tipo *Dirichlet* para el par temperatura-flujo de calor
  - en la interfaz superior de la cavidad 2-D:
    - condiciones de tipo *Neumann* para el par presión-caudal
    - condiciones de tipo *Neumann* para el par temperatura-flujo de calor
  - en la interfaz inferior de la red 0-D:
    - condiciones de tipo *Neumann* para el par presión-caudal
    - condiciones de tipo *Neumann* para el par temperatura-flujo de calor
  - en la interfaz superior de la red 0-D:
    - condiciones de tipo *Neumann* para el par presión-caudal
    - condiciones de tipo *Dirichlet* para el par temperatura-flujo de calor

# Ejemplos de aplicación

## Fluidodinámica en una fuente fría de neutrones

- Ecuaciones de residuos en subsistema 1:

$$\begin{cases} (R_{p,Q})_1^1 = p_1^{1,guess} - p_1^{1,calc}(Q_1^{1,guess}, T_1^{1,guess}, p_1^{2,guess}, q_1^{''2,guess}) \\ (R_{T,q''})_1^1 = q_1^{''1,guess} - q_1^{''1,calc}(Q_1^{1,guess}, T_1^{1,guess}, p_1^{2,guess}, q_1^{''2,guess}) \\ (R_{p,Q})_1^2 = Q_1^{2,guess} - Q_1^{2,calc}(Q_1^{1,guess}, T_1^{1,guess}, p_1^{2,guess}, q_1^{''2,guess}) \\ (R_{T,q''})_1^2 = T_1^{2,guess} - T_1^{2,calc}(Q_1^{1,guess}, T_1^{1,guess}, p_1^{2,guess}, q_1^{''2,guess}) \end{cases}$$

# Ejemplos de aplicación

## Fluidodinámica en una fuente fría de neutrones

- Ecuaciones de residuos en subsistema 1:

$$\begin{cases} (R_{p,Q})_1^1 = p_1^{1,guess} - p_1^{1,calc}(Q_1^{1,guess}, T_1^{1,guess}, p_1^{2,guess}, q_1^{''2,guess}) \\ (R_{T,q''})_1^1 = q_1^{''1,guess} - q_1^{''1,calc}(Q_1^{1,guess}, T_1^{1,guess}, p_1^{2,guess}, q_1^{''2,guess}) \\ (R_{p,Q})_1^2 = Q_1^{2,guess} - Q_1^{2,calc}(Q_1^{1,guess}, T_1^{1,guess}, p_1^{2,guess}, q_1^{''2,guess}) \\ (R_{T,q''})_1^2 = T_1^{2,guess} - T_1^{2,calc}(Q_1^{1,guess}, T_1^{1,guess}, p_1^{2,guess}, q_1^{''2,guess}) \end{cases}$$

- Ecuaciones de residuos en subsistema 2:

$$\begin{cases} (R_{p,Q})_2^1 = Q_2^{1,guess} - Q_2^{1,calc}(p_2^{1,guess}, T_2^{1,guess}, p_2^{2,guess}, q_2^{''2,guess}) \\ (R_{T,q''})_2^1 = q_2^{''1,guess} - q_2^{''1,calc}(p_2^{1,guess}, T_2^{1,guess}, p_2^{2,guess}, q_2^{''2,guess}) \\ (R_{p,Q})_2^2 = Q_2^{2,guess} - Q_2^{2,calc}(p_2^{1,guess}, T_2^{1,guess}, p_2^{2,guess}, q_2^{''2,guess}) \\ (R_{T,q''})_2^2 = T_2^{2,guess} - T_2^{2,calc}(p_2^{1,guess}, T_2^{1,guess}, p_2^{2,guess}, q_2^{''2,guess}) \end{cases}$$



# Ejemplos de aplicación

## Fluidodinámica en una fuente fría de neutrones

- Ecuaciones de residuos en subsistema 1: (fijo  $p_1^2 = p_{ref} = 0$ )

$$\begin{cases} (R_{p,Q})_1^1 = p_1^{1,guess} - p_1^{1,calc}(Q_1^{1,guess}, T_1^{1,guess}, p_1^{2,guess}, q_1^{1/2,guess}) \\ (R_{T,q''})_1^1 = q_1^{1/1,guess} - q_1^{1/1,calc}(Q_1^{1,guess}, T_1^{1,guess}, p_1^{2,guess}, q_1^{1/2,guess}) \\ (R_{p,Q})_1^2 = Q_1^{2,guess} - Q_1^{2,calc}(Q_1^{1,guess}, T_1^{1,guess}, p_1^{2,guess}, q_1^{1/2,guess}) \\ (R_{T,q''})_1^2 = T_1^{2,guess} - T_1^{2,calc}(Q_1^{1,guess}, T_1^{1,guess}, p_1^{2,guess}, q_1^{1/2,guess}) \end{cases}$$

- Ecuaciones de residuos en subsistema 2: (fijo  $p_2^1 = p_{ref} = 0$ )

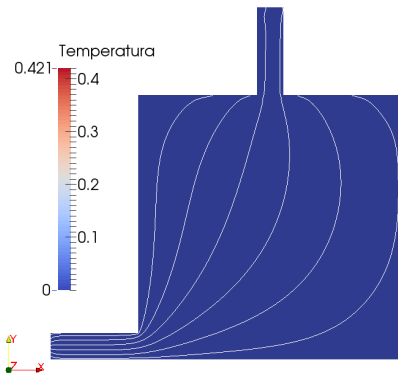
$$\begin{cases} (R_{p,Q})_2^1 = Q_2^{1,guess} - Q_2^{1,calc}(p_2^{1,guess}, T_2^{1,guess}, p_2^{2,guess}, q_2^{1/2,guess}) \\ (R_{T,q''})_2^1 = q_2^{1/1,guess} - q_2^{1/1,calc}(p_2^{1,guess}, T_2^{1,guess}, p_2^{2,guess}, q_2^{1/2,guess}) \\ (R_{p,Q})_2^2 = Q_2^{2,guess} - Q_2^{2,calc}(p_2^{1,guess}, T_2^{1,guess}, p_2^{2,guess}, q_2^{1/2,guess}) \\ (R_{T,q''})_2^2 = T_2^{2,guess} - T_2^{2,calc}(p_2^{1,guess}, T_2^{1,guess}, p_2^{2,guess}, q_2^{1/2,guess}) \end{cases}$$

# Ejemplos de aplicación

## Fluidodinámica en una fuente fría de neutrones

Distintos comportamientos según el  $Ri$  obtenido:

- $Ri = 0,8$ :

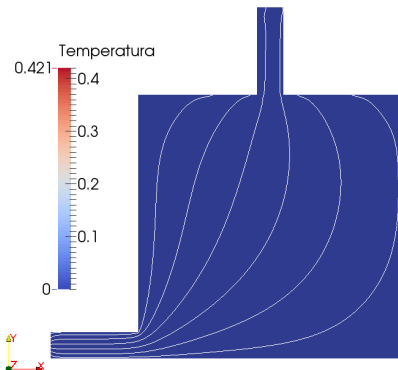


# Ejemplos de aplicación

## Fluidodinámica en una fuente fría de neutrones

Distintos comportamientos según el  $Ri$  obtenido:

- $Ri = 84$ :



# Ejemplos de aplicación

## Fluidodinámica en una fuente fría de neutrones

A mayor altura  $H$  del intercambiador de calor, mayor caudal obtenido:

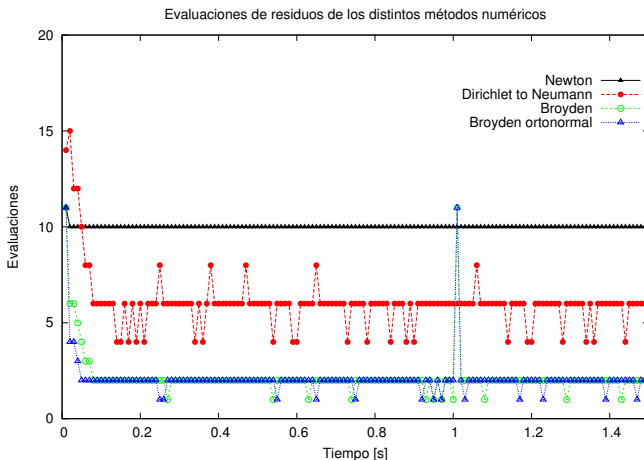
$f_0 [W/m^3]$	$H/\Delta z$	$Ri$	$\Delta T [K]$	$Q[m^3/s]$	$\Delta p [Pa]$
$2 \cdot 10^4$	1	3.4	0.7	$3,2 \cdot 10^{-3}$	613
	5	1	0.5	$4,2 \cdot 10^{-3}$	614
	10	0.5	0.3	$4,5 \cdot 10^{-3}$	617
$2 \cdot 10^5$	1	6.5	3.6	$4,4 \cdot 10^{-3}$	595
	5	1.7	2.8	$7,6 \cdot 10^{-3}$	605
	10	0.9	2.2	$9,0 \cdot 10^{-3}$	620
$2 \cdot 10^6$	1	10.6	24	$8,9 \cdot 10^{-3}$	465
	5	2.2	18	$1,7 \cdot 10^{-2}$	580
	10	0.9	11.6	$2,1 \cdot 10^{-2}$	700

**Cuadro 2:** Principales resultados del cálculo para el análisis de la fuente fría variando la magnitud de la fuente interna y la altura del sistema de enfriamiento.

# Ejemplos de aplicación

## Fluidodinámica en una fuente fría de neutrones

### Análisis de métodos de resolución del sistema de ecuaciones de residuos:



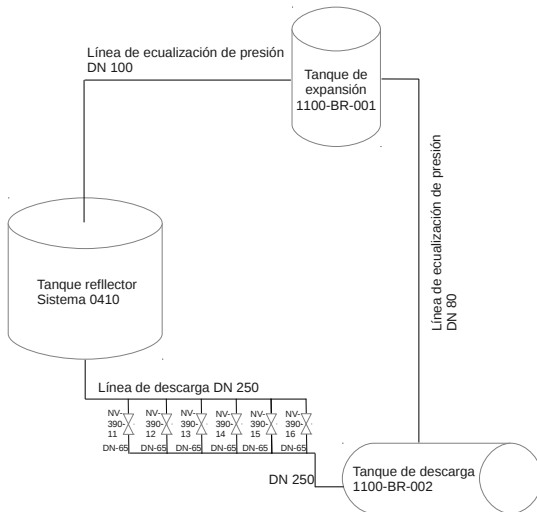
# Outline

- 1 Introducción
  - Motivación
  - Abordaje del modelado
  - Objetivos
- 2 Estrategia de resolución
  - Paradigma maestro-esclavo
  - Modelos de comunicación
  - Arquitectura de acoplamiento montada en códigos esclavos comunicados por paso de mensajes
  - Códigos maestro utilizados
- 3 Ejemplos de aplicación
  - Movimiento por fuerza boyante en un circuito cerrado
  - **Análisis del segundo sistema de parada de un reactor de investigación**
  - Resolución de redes hidráulicas de múltiples componentes
  - Extensión a problemas acoplados en modelos de núcleo
- 4 Conclusiones

# Ejemplos de aplicación

## Análisis del segundo sistema de parada de un reactor de investigación

### Esquema del Segundo Sistema de Parada (SSP) del RA-10:



# Ejemplos de aplicación

## Análisis del segundo sistema de parada de un reactor de investigación

Subdominios de análisis:



# Ejemplos de aplicación

## Análisis del segundo sistema de parada de un reactor de investigación

Subdominios de análisis:

- Subsistema del tanque del reflector,

# Ejemplos de aplicación

## Análisis del segundo sistema de parada de un reactor de investigación

Subdominios de análisis:

- Subsistema del tanque del reflector,
- Subsistema de la red hidráulica de descarga,

# Ejemplos de aplicación

## Análisis del segundo sistema de parada de un reactor de investigación

### Subdominios de análisis:

- Subsistema del tanque del reflector,
- Subsistema de la red hidráulica de descarga,
- Subsistema de la red hidráulica de ecualización de presiones.

# Ejemplos de aplicación

## Análisis del segundo sistema de parada de un reactor de investigación

### Subdominios de análisis:

- Subsistema del tanque del reflector (0-D),
- Subsistema de la red hidráulica de descarga (3-D),
- ~~Subsistema de la red hidráulica de ecualización de presiones.~~

# Ejemplos de aplicación

## Análisis del segundo sistema de parada de un reactor de investigación

Subsistema 0-D:

$$\ddot{h}h + \frac{\dot{h}^2}{2} \left( 1 - \left( \frac{A_T}{A_D} \right)^2 \right) + g\Delta h_{red} + \ddot{h}l_D = \frac{p_{atm} - p_1^1}{\rho} + \Delta\hat{u}$$

donde  $p_1^1$  es la presión en la interfaz de acople,  $A_T$  es la área transversal del tanque del reflector,  $A_D$  es la sección transversal de la línea de descarga,  $\Delta h_{red}$  es la altura total de la columna de líquido en el subsistema,  $l_D$  es la longitud total de cañerías en el subsistema,  $p_{atm}$  es la presión sobre la superficie libre, y  $\rho$  es la densidad del agua.  $\Delta\hat{u}$  representa la pérdida de carga por unidad de masa y puede modelarse como:

$$\Delta\hat{u} = \frac{1}{2} v_D^2 \left( \frac{f_D l_D}{D} + \sum_i K_i \right)$$

donde  $v_D$  es la velocidad del fluido en la línea de descarga, (que puede escribirse en términos de  $\dot{h}$ ),  $\frac{f_D l_D}{D}$  es el factor de pérdida de carga distribuida en las tuberías, (en función del factor de Darcy  $f_D$ , la longitud de tuberías  $l_D$  y el diámetro de las mismas  $D$ ) y  $\sum_i K_i$  es la sumatoria de factores de pérdida de carga concentrada.

# Ejemplos de aplicación

## Análisis del segundo sistema de parada de un reactor de investigación

Parámetro	Valor
$A_T$	$5.30 \text{ m}^2$
$A_D$	$0.05 \text{ m}^2$
$\Delta h_{red}$	$h + 4.98 \text{ m}$
$l_D$	$11.98 \text{ m}$
$p_{atm}$	$92000 \text{ Pa}$
$\rho$	$998 \text{ Kg/m}^3$
$D$	$0.254 \text{ m}$
$\sum_i K_i$	$1.13$

**Cuadro 3:** Parámetros del subsistema del tanque del reflector con acople de porción de red hidráulica

# Ejemplos de aplicación

## Análisis del segundo sistema de parada de un reactor de investigación

Subsistema 3-D:

$$\left\{ \begin{array}{l} \frac{\partial \bar{U}}{\partial t} + (\bar{U} \cdot \nabla) \bar{U} = -\frac{\nabla P^*}{\rho} + \nabla \cdot \left[ (\nu + \nu_T) (\nabla \bar{U} + \nabla \bar{U}^T) \right] + \bar{f} \\ \nabla \cdot \bar{U} = 0 \\ \nu_T = c_\mu \frac{\kappa^2}{\epsilon} \\ \frac{\partial \kappa}{\partial t} + (\bar{U} \cdot \nabla) \kappa = \frac{c_\mu}{2} \kappa^2 \epsilon \left| \nabla \bar{U} + \nabla \bar{U}^T \right|^2 + \nabla \cdot \left( c_\mu \frac{\kappa^2}{\epsilon} \nabla \kappa \right) - \epsilon \\ \frac{\partial \epsilon}{\partial t} + (\bar{U} \cdot \nabla) \epsilon = \frac{c_1}{2} \kappa \left| \nabla \bar{U} + \nabla \bar{U}^T \right|^2 + \nabla \cdot \left( c_\epsilon \frac{\kappa^2}{\epsilon} \nabla \epsilon \right) - c_2 \frac{\epsilon}{\kappa} \end{array} \right. \quad (1)$$

donde  $\bar{f}$  es una fuerza volumétrica,  $\kappa$  es la energía cinética turbulenta,  $\epsilon$  es la disipación viscosa de energía turbulenta,  $\nu_T$  es la viscosidad turbulenta y  $P^*$  es la presión efectiva del sistema, que se calcula como  $P^* = P + \frac{2}{3} \kappa$ . Las variables mayúsculas refieren a valores medios estadísticos. Los parámetros de las ecuaciones de transporte de  $\kappa$  y  $\epsilon$  toman los siguientes valores:  $c_\mu = 0,09$ ,  $c_1 = 0,126$ ,  $c_2 = 1,92$  y  $c_\epsilon = 0,07$  [?].

# Ejemplos de aplicación

## Análisis del segundo sistema de parada de un reactor de investigación

Estrategia de resolución:

- Ecuaciones de continuidad:

$$\begin{cases} p_1^1 = p_2^1 \\ Q_1^1 = Q_2^1 \end{cases}$$



# Ejemplos de aplicación

## Análisis del segundo sistema de parada de un reactor de investigación

Estrategia de resolución:

- Ecuaciones de continuidad:

$$\begin{cases} p_1^1 = p_2^1 \\ Q_1^1 = Q_2^1 \end{cases}$$

- Selección de condiciones de borde:
  - Subsistema 0-D: condición de tipo *Neumann*
  - Subsistema 3-D: condición de tipo *Dirichlet*

# Ejemplos de aplicación

## Análisis del segundo sistema de parada de un reactor de investigación

Estrategia de resolución:

- Ecuaciones de continuidad:

$$\begin{cases} p_1^1 = p_2^1 \\ Q_1^1 = Q_2^1 \end{cases}$$

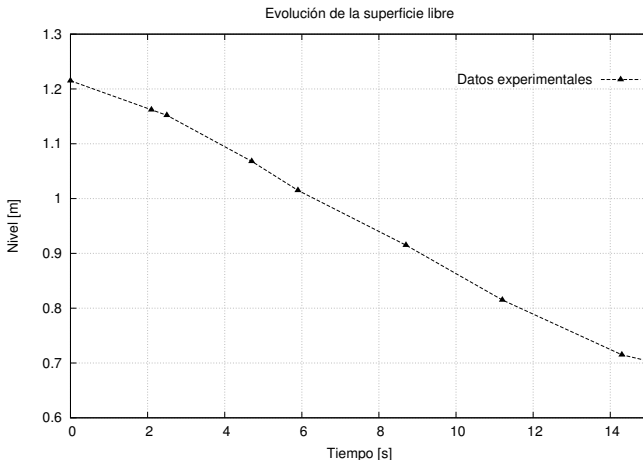
- Selección de condiciones de borde:
  - Subsistema 0-D: condición de tipo *Neumann*
  - Subsistema 3-D: condición de tipo *Dirichlet*
- Ecuaciones de residuos:

$$\begin{cases} (R_{p,Q})_1^1 = Q_1^{1,guess} - Q_1^{1,calc}(p_1^{1,guess}) \\ (R_{p,Q})_2^1 = p_2^{1,guess} - p_2^{1,calc}(Q_2^{1,guess}) \end{cases}$$

# Ejemplos de aplicación

## Análisis del segundo sistema de parada de un reactor de investigación

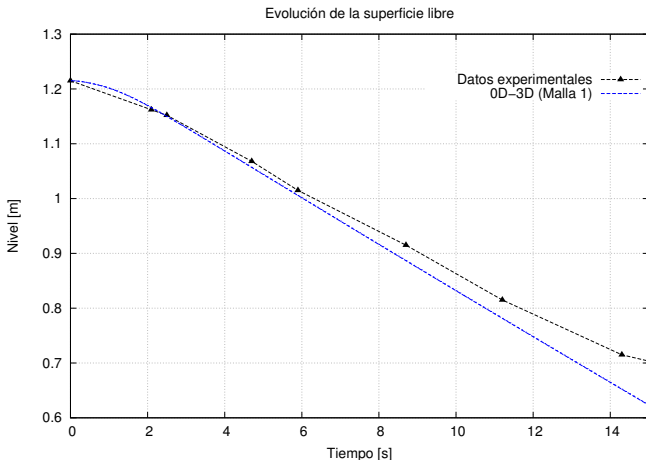
### Análisis de la descarga del SSP:



# Ejemplos de aplicación

## Análisis del segundo sistema de parada de un reactor de investigación

### Análisis de la descarga del SSP:

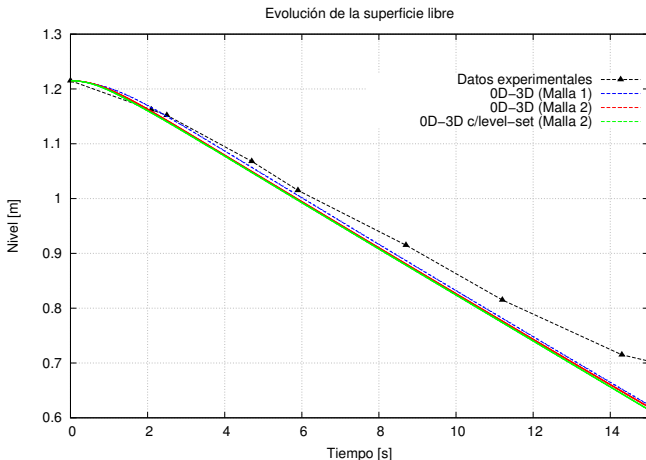




# Ejemplos de aplicación

## Análisis del segundo sistema de parada de un reactor de investigación

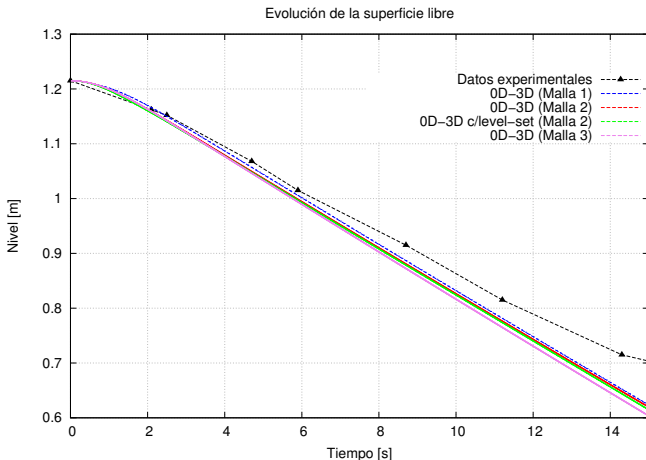
### Análisis de la descarga del SSP:



# Ejemplos de aplicación

## Análisis del segundo sistema de parada de un reactor de investigación

### Análisis de la descarga del SSP:





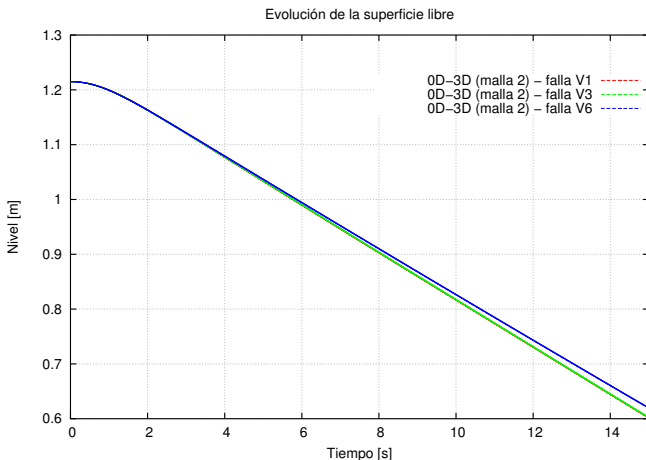




# Ejemplos de aplicación

## Análisis del segundo sistema de parada de un reactor de investigación

### Análisis de sensibilidad de resultados ante válvula en falla



# Ejemplos de aplicación

## Análisis del segundo sistema de parada de un reactor de investigación

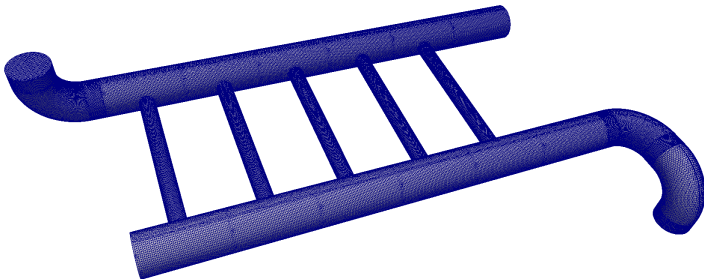
Transporte de superficie libre en cañerías

$$\frac{\partial \phi}{\partial t} + (\bar{u} \cdot \nabla) \phi = 0$$

# Ejemplos de aplicación

## Análisis del segundo sistema de parada de un reactor de investigación

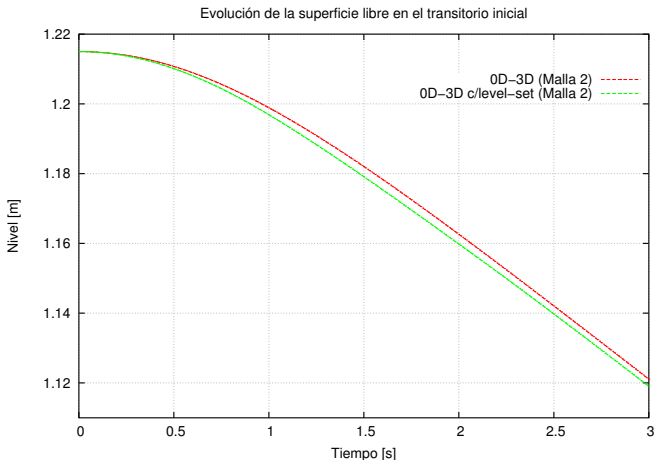
### Transporte de superficie libre en cañerías



# Ejemplos de aplicación

## Análisis del segundo sistema de parada de un reactor de investigación

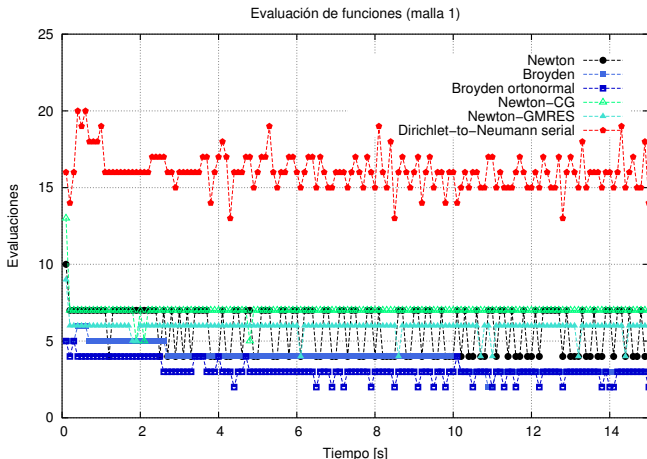
### Transporte de superficie libre en cañerías



# Ejemplos de aplicación

## Análisis del segundo sistema de parada de un reactor de investigación

### Estudio de métodos numéricos para la resolución del sistema de residuos

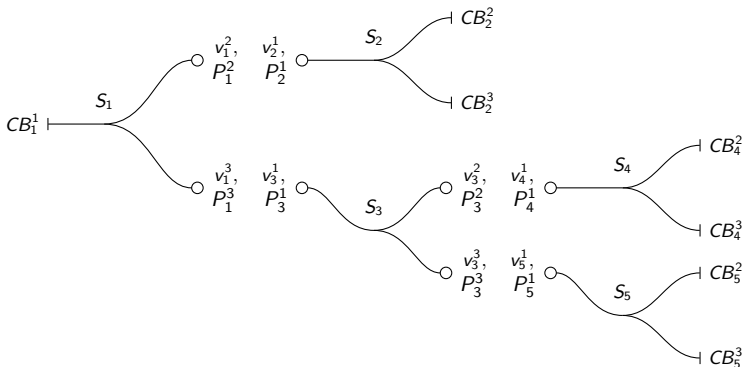




# Ejemplos de aplicación

## Resolución de redes hidráulicas de múltiples componentes

Descomposición disjunta de dominios en un modelo de red hidráulica con 8 incógnitas reducidas en las interfaces de acoplamiento:

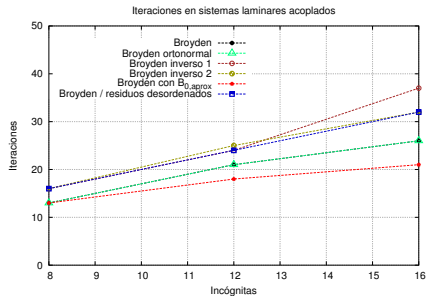
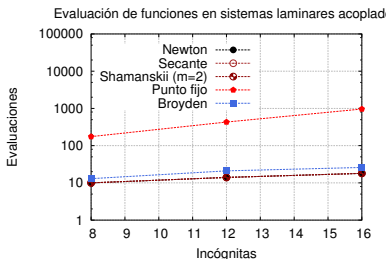
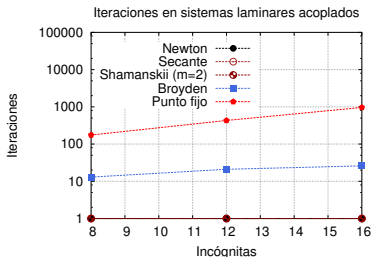




# Ejemplos de aplicación

## Resolución de redes hidráulicas de múltiples componentes

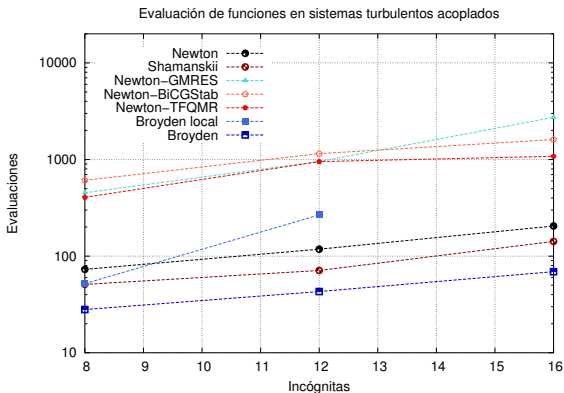
### Redes hidráulicas con regímenes de flujo laminar:



# Ejemplos de aplicación

## Resolución de redes hidráulicas de múltiples componentes

### Redes hidráulicas con regímenes de flujo turbulento:



# Outline

- 1 Introducción
  - Motivación
  - Abordaje del modelado
  - Objetivos
- 2 Estrategia de resolución
  - Paradigma maestro-esclavo
  - Modelos de comunicación
  - Arquitectura de acoplamiento montada en códigos esclavos comunicados por paso de mensajes
  - Códigos maestro utilizados
- 3 Ejemplos de aplicación
  - Movimiento por fuerza boyante en un circuito cerrado
  - Análisis del segundo sistema de parada de un reactor de investigación
  - Resolución de redes hidráulicas de múltiples componentes
  - Extensión a problemas acoplados en modelos de núcleo
- 4 Conclusiones

# Ejemplos de aplicación

Extensión a problemas acoplados en modelos de núcleo

# Conclusiones

Logros alcanzados

# Conclusiones

## Trabajos futuros

Gracias por su atención!

# For Further Reading I



A. Author.

*Handbook of Everything.*

Some Press, 1990.



S. Someone.

On this and that.

*Journal of This and That*, 2(1):50–100, 2000.